

# ИССЛЕДОВАНИЕ ЭКРАНИРОВАНИЯ ЗАРЯЖЕННОЙ ПЫЛЕВОЙ ЧАСТИЦЫ В РАМКАХ НЕЛОКАЛЬНОЙ ТЕОРИИ ЗАРЯДКИ

*И. Н. Дербенев, А. В. Филиппов\**

*ГНЦ РФ Троицкий институт инновационных и термоядерных исследований  
142190, Москва, Россия*

Поступила в редакцию 21 августа 2012 г.

Проведено исследование влияния нелокальности функции распределения электронов по энергии на характер экранирования заряда пылевой частицы в двухкомпонентной плазме различных инертных газов и азота при атмосферном давлении. Для аналитических и численных расчетов выбрана модель точечного стока в диффузионно-дрейфовом приближении, которая в дополнение к объемным процессам рождения и гибели электронов и ионов включает также гетерогенные процессы их гибели на пылевой частице. Установлено, что в рассматриваемой задаче распределение потенциала пылевой частицы является суперпозицией трех дебаевских экспонент с тремя разными постоянными экранирования. Первая постоянная практически совпадает с обратным дебаевским радиусом, вторая определяется обратной длиной, проходимой электронами и ионами в процессе амбиполярной диффузии за характерное рекомбинационное время. Третья постоянная совпадает с обратным характерным расстоянием переноса энергии электронов за счет теплопроводности за характерное время установления энергии электронов в процессах нагрева пучком быстрых электронов и потерь энергии в упругих и неупругих соударениях. Проведено сравнение результатов численных расчетов постоянных экранирования с результатами аналитических оценок, полученных в приближении амбиполярной диффузии.

DOI: 10.7868/S0044451013030164

## 1. ВВЕДЕНИЕ

Исследование характера экранирования макро-частицы в неравновесной плазме имеет большое значение как для развития теории пылевой и коллоидной плазмы, так и для задач, связанных с зондовыми измерениями. В работах [1–4] было показано, что потенциал пылевой частицы в неравновесной плазме с одним сортом ионов описывается двумя дебаевскими экспонентами, в то время как в трехкомпонентной плазме потенциал становится суперпозицией трех дебаевских экспонент с разными постоянными экранирования [5], причем все постоянные экранирования являются действительными величинами.

В настоящей работе рассмотрено влияние нелокальности функции распределения электронов по энергии (ФРЭЭ) на распределение потенциала вокруг заряженной пылевой частицы в двухкомпонентной плазме инертных газов и азота при атмосферном давлении. Полагалось, что плазма со-

здается внешним источником ионизации газа, скорость ионизации при расчетах менялась в диапазоне  $10^{10}$ – $10^{18}$   $\text{см}^{-3}\cdot\text{с}^{-1}$ . Нелокальность ФРЭЭ учитывалась с помощью дополнительного уравнения баланса энергии электронов, которое связывает локальное значение средней энергии электронов в каждой точке с параметрами плазмы в соседних точках.

## 2. НЕЛОКАЛЬНАЯ МОДЕЛЬ ЗАРЯДКИ ПЫЛЕВЫХ ЧАСТИЦ

Рассмотрим зарядку сферической пылевой частицы, помещенной в центр сферически-симметричной системы координат. В инертных газах и азоте при атмосферном давлении для описания процесса зарядки пылевых частиц микронного размера применимо диффузионно-дрейфовое приближение. Условия его применимости имеют вид [6]

$$l_{e,i} \ll r_0 + r_d,$$

где  $l_{e,i}$  — длины свободного пробега соответственных электронов и ионов,  $r_0$  — радиус пылевой частицы,  $r_d$  — характерный размер области нарушения

\*E-mail: fav@triniti.ru

квазинейтральности плазмы. В инертных газах при атмосферном давлении длина установления энергии электронов оказывается заметно большей или сравнимой с  $r_d$ , поэтому необходим учет нелокальности функции распределения электронов по энергии. В настоящей работе учет эффектов нелокальности ФРЭЭ проведен на основе нелокальной модели зарядки пылевых частиц, которая была разработана в работе [6].

Система уравнений нелокальной модели зарядки включает уравнения баланса концентраций электронов и ионов, уравнение Пуассона и уравнение баланса энергии электронов, полученное на основе нелокального метода моментов [6]:

$$\frac{\partial n_e}{\partial t} - \frac{1}{r^2} \frac{\partial}{\partial r} \left\{ r^2 \left[ \frac{\partial (D_e n_e)}{\partial r} + k_e n_e E \right] \right\} = Q_{ion} + \nu_{ion} n_e - \beta_{ei} n_e n_i, \quad (1)$$

$$\frac{\partial n_i}{\partial t} + \frac{1}{r^2} \frac{\partial}{\partial r} \left[ r^2 \left( -D_i \frac{\partial n_i}{\partial r} + k_i n_i E \right) \right] = Q_{ion} + \nu_{ion} n_e - \beta_{ei} n_e n_i, \quad (2)$$

$$\frac{1}{r^2} \frac{\partial (r^2 E)}{\partial r} = 4\pi e (n_i - n_e), \quad (3)$$

$$\frac{\partial n_e \langle \varepsilon_e \rangle}{\partial t} - \frac{1}{r^2} \frac{\partial}{\partial r} \left\{ r^2 \left[ \frac{\partial (G n_e)}{\partial r} + \beta n_e E \right] \right\} + e \mathbf{j}_e \cdot \mathbf{E} = (\eta - I) Q_{ion} - \nu_{ion} n_e I - n_e W_S - \beta_{ei} R n_e n_i. \quad (4)$$

Здесь  $k_\sigma$  и  $D_\sigma$  — соответственно подвижности и коэффициенты диффузии электронов ( $\sigma = e$ ) и ионов ( $\sigma = i$ );  $Q_{ion}$  — скорость ионизации газа внешним источником;  $\nu_{ion}$  — частота ионизации газа электронами плазмы;  $\beta_{ei}$  — коэффициент рекомбинации;  $E$  — напряженность самосогласованного электрического поля;  $n_\sigma$  — концентрация плазменных частиц  $\sigma$ -сорта;  $\langle \varepsilon_e \rangle$  — средняя энергия электронов, которая определяет «температуру» электронов:  $T_e = (2/3) \langle \varepsilon_e \rangle$ ;  $W_S$  — скорость потерь энергии в упругих и неупругих столкновениях (потери энергии электронов в процессах ионизации и рекомбинации выделены в отдельные члены);  $G$  и  $\beta$  — коэффициенты, определяющие диффузионную и дрейфовую составляющие плотности потока тепла электронов и аналогичные коэффициенту диффузии и подвижности электронов (определение коэффициентов переноса см. в [6]);  $\mathbf{j}_e$  — плотность потока электронов;  $I$  — потенциал ионизации атомов или молекул плазмообразующего газа;  $\eta$  — энергетическая

цена образования электрон-ионной пары, которая примерно равна  $2I$ ;  $R$  — средняя энергия электронов, теряемая в одном акте процесса рекомбинации. При преобладании потерь энергии в упругих столкновениях скорость потерь можно представить в виде [7, 8]

$$W_S(T_e) = 2 \frac{m_e}{M} \left( 1 - \frac{T_e}{T} \right) \int_0^\infty \nu_m \varepsilon^{3/2} f_0 d\varepsilon \approx a_W \left( 1 - \frac{T_e}{T} \right) T_e^{\gamma_{W1}}, \quad (5)$$

где  $f_0(\varepsilon)$  — функция распределения электронов по энергии,  $m_e$  — масса электрона,  $M$  — масса иона,  $\nu_m$  — транспортная частота столкновений электронов,  $a_W$  и  $\gamma_{W1}$  — слабо зависящие от температуры электронов величины. При независимости транспортной частоты от энергии

$$\gamma_{W1} = 1, \quad a_W = 3\nu_m m_e / M,$$

а при независимости длины пробега электронов  $l_e$  от энергии

$$\gamma_{W1} = \frac{3}{2}, \quad a_W = \frac{8m_e}{M l_e} \sqrt{\frac{2}{\pi m_e}}.$$

Линеаризуем систему (1)–(4), введя малые возмущения к равновесным значениям:

$$n_e = n_{e0} + \delta n_e, \quad n_i = n_{i0} + \delta n_i, \\ E = \delta E, \quad T_e = T_{e0} + \delta T_e. \quad (6)$$

Полагаем, что для коэффициентов переноса выполнены соотношения Эйнштейна:

$$\frac{D_e}{k_e} = \frac{G}{\beta} = \frac{T_e}{e}. \quad (7)$$

Средняя энергия электронов, теряемая в процессах электрон-ионной рекомбинации, определена соотношением

$$R = \frac{1}{\beta_{ei}} \sqrt{\frac{2}{m_e}} \int f_0(\varepsilon) \sigma_{ei} \varepsilon^2 d\varepsilon. \quad (8)$$

Здесь

$$\beta_{ei} = \sqrt{\frac{2}{m_e}} \int f_0(\varepsilon) \sigma_{ei} \varepsilon d\varepsilon$$

— коэффициент рекомбинации,  $\sigma_{ei}$  — сечение рекомбинации. Во всех рассмотренных в настоящей работе газах основными ионами плазмы при атмосферном давлении являются ионы димеров атомов или молекул исходного газа. Зависимость коэффициентов рекомбинации этих ионов с электронами от

обратной температуры электронов близка к корневой [9], к ней приводит обратно пропорциональная зависимость сечения рекомбинации от энергии электронов. С такой зависимостью сечения из (8) при интегрировании с максвелловской ФРЭЭ следует, что  $R \approx T_e$  (при строго обратно пропорциональной зависимости равенство является точным). Поэтому далее везде полагалось, что  $R = T_e$ .

Подставив выражения (6) в уравнения (1)–(4), с учетом того, что в невозмущенной плазме в стационарных условиях

$$\begin{aligned} n_{e0} &= n_{i0} = n_0, \\ Q_{ion} + \nu_{ion,0}n_0 - \beta_{ei,0}n_0^2 &= 0, \\ (\eta - I)Q_{ion} - I\nu_{ion,0}n_0 - n_0W_{S0} - \beta_{ei,0}T_{e0}n_0^2 &= 0, \end{aligned} \quad (9)$$

получим

$$\begin{aligned} -\frac{1}{r^2} \frac{\partial}{\partial r} \left[ r^2 \left( D_{e0} \frac{\partial \delta n_e}{\partial r} + n_0 \frac{\partial \delta D_e}{\partial r} + k_{e0} n_0 \delta E \right) \right] &= \nu_{ion,0} \delta n_e + n_0 \delta \nu_{ion} - \\ &\quad - n_0^2 \delta \beta_{ei} - \beta_{ei,0} n_0 \delta n_e - \beta_{ei,0} n_0 \delta n_i, \\ -\frac{1}{r^2} \frac{\partial}{\partial r} \left[ r^2 \left( -D_i \frac{\partial \delta n_i}{\partial r} + k_{i0} n_0 \delta E \right) \right] &= \\ = \nu_{ion,0} \delta n_e + n_0 \delta \nu_{ion} - n_0^2 \delta \beta_{ei} - &\quad - \beta_{ei,0} n_0 \delta n_e - \beta_{ei,0} n_0 \delta n_i, \\ -\frac{1}{r^2} \frac{\partial}{\partial r} \left[ r^2 \left( G_0 \frac{\partial \delta n_e}{\partial r} + n_0 \frac{\partial \delta G}{\partial r} + \beta_0 n_0 \delta E \right) \right] &= \\ = -n_0 \delta W_S - I n_0 \delta \nu_{ion} - \nu_{ion,0} \delta n_e - W_{S0} \delta n_e - &\quad - T_{e0} n_0^2 \delta \beta_{ei} - \beta_{ei,0} n_0^2 \delta T_e - \beta_{ei,0} T_{e0} n_0 \delta n_e - \\ &\quad - \beta_{ei,0} T_{e0} n_0 \delta n_i, \\ \frac{1}{r^2} \frac{\partial (r^2 \delta E)}{\partial r} &= 4\pi e (\delta n_i - \delta n_e). \end{aligned} \quad (10)$$

Здесь (все величины с индексом «0» относятся к температуре электронов, равной  $T_{e0}$ )

$$\begin{aligned} \delta D_e &= \gamma_D D_{e0} \frac{\delta T_e}{T_{e0}}, \quad \delta \nu_{ion} = \gamma_{ion} \nu_{ion,0} \frac{\delta T_e}{T_{e0}}, \\ \delta \beta_{ei} &= \gamma_R \beta_{ei,0} \frac{\delta T_e}{T_{e0}}, \quad \delta G = \gamma_G G_0 \frac{\delta T_e}{T_{e0}}, \\ \delta W_S &= \gamma_W (T_{e0}) W_{S0} \frac{\delta T_e}{T_{e0}}, \\ \gamma_D &= \left. \frac{d \ln D_e}{d \ln T_e} \right|_{T_{e0}}, \quad \gamma_{ion} = \left. \frac{d \ln \nu_{ion}}{d \ln T_e} \right|_{T_{e0}}, \\ \gamma_R &= \left. \frac{d \ln \beta_{ei}}{d \ln T_e} \right|_{T_{e0}}, \quad \gamma_G = \left. \frac{d \ln G}{d \ln T_e} \right|_{T_{e0}}, \end{aligned}$$

$$\gamma_{W_1} = \left[ \left. \frac{d}{d \ln T_e} \ln \left( W_S \frac{T_e}{T_e - T} \right) \right] \right|_{T_{e0}},$$

$$\gamma_W = \left. \frac{d \ln W_S}{d \ln T_e} \right|_{T_{e0}} = \gamma_{W_1} + \frac{T}{T_{e0} - T}.$$

Согласно проведенным расчетам коэффициентов переноса электронов для всех исследованных газов оказалось, что  $\gamma_D \approx 0.5$ ,  $\gamma_G \approx 1.5$ ,  $\gamma_{W_1} \approx 1.5$ , а также  $G \approx 2D_e T_e$ , поэтому

$$\delta G \approx 2D_{e0} (1 + \gamma_D) \frac{\delta T_e}{T_{e0}}. \quad (11)$$

Введем эффективные стоки заряженных частиц плазмы ( $S_e, S_i$ ) и энергии электронов ( $S_\varepsilon$ ) на пылевую частицу. В стационарных условиях  $S_e = S_i \equiv S$ . При этом учтем, что согласно кинетической теории газов потоки частиц и энергии на пылевую частицу в случае максвелловского распределения связаны соотношением  $S_\varepsilon = 2T_e S_e$ . Также учитывая, что  $G_0 \approx 2D_{e0} T_{e0}$ , введем параметр  $\chi$ , определенный как  $\chi = D_{e0} T_{e0} / G_0$ . В случае независимости транспортной частоты столкновений электронов с нейтральными атомами от энергии электронов  $\chi = 1/2$  и выполняется соотношение  $S_\varepsilon / G_0 = S_e / D_{e0}$ .

В формуле (10) из первых трех уравнений исключим поле с помощью четвертого, введем потенциал поля, поделим первое уравнение на  $D_{e0}$ , второе — на  $D_i$ , третье — на  $G_0$ , введем новую величину  $\delta p_e = n_0 \delta T_e / T_{e0}$ . В итоге получим

$$\begin{aligned} -\Delta \delta n_e - \gamma_D \Delta \delta p_e + k_{de}^2 [\delta n_e - \delta n_i - q \delta(\mathbf{r})] &= \\ = k_{ie}^2 \delta n_e + \gamma_{ion} k_{ie}^2 \delta p_e - k_{se}^2 \delta n_e - &\quad - k_{se}^2 \delta n_i - \gamma_R k_{se}^2 \delta p_e - \tilde{S}_e \delta(\mathbf{r}), \\ -\Delta \delta n_i - k_{di}^2 [\delta n_e - \delta n_i - q \delta(\mathbf{r})] &= \\ = k_{ii}^2 \delta n_e + \gamma_{ion} k_{ii}^2 \delta p_e - &\quad - k_{si}^2 \delta n_e - k_{si}^2 \delta n_i - \gamma_R k_{si}^2 \delta p_e - \tilde{S}_i \delta(\mathbf{r}), \\ -\Delta \delta n_e - \gamma_G \Delta \delta p_e + k_{de}^2 [\delta n_e - \delta n_i - q \delta(\mathbf{r})] &= \\ = -\gamma_W k_W^2 \delta p_e - \gamma_{ion} k_{ie}^2 \delta p_e - &\quad - k_{ie}^2 \delta n_e - k_W^2 \delta n_e - \chi (\gamma_R + 1) k_{se}^2 \delta p_e - \\ &\quad - \chi k_{se}^2 \delta n_e - \chi k_{se}^2 \delta n_i - \tilde{S}_e \delta(\mathbf{r}), \\ \Delta \phi &= 4\pi e (\delta n_i - \delta n_e) - 4\pi e q \delta(\mathbf{r}), \end{aligned} \quad (12)$$

где  $\delta(\mathbf{r})$  — дельта-функция,  $q$  — заряд пылевой частицы и введены следующие обозначения:

$$\begin{aligned}
 k_{de}^2 &= \frac{4\pi e^2 n_0}{T_{e0}}, & k_{di}^2 &= \frac{4\pi e^2 n_0}{T_i}, & k_{ie}^2 &= \frac{\nu_{ion,0}}{D_{e0}}, \\
 k_{ii}^2 &= \frac{\nu_{ion,0}}{D_i}, & k_{i\varepsilon}^2 &= \frac{I\nu_{ion,0}}{G_0}, \\
 k_{se}^2 &= \frac{\beta_{ei,0} n_0}{D_{e0}}, & k_{si}^2 &= \frac{\beta_{ei,0} n_0}{D_i}, & k_W^2 &= \frac{W_{S0}}{G_0}, \\
 \tilde{S}_e &= \frac{S}{D_{e0}}, & \tilde{S}_i &= \frac{S}{D_i}.
 \end{aligned} \tag{13}$$

Применим к полученной системе уравнений трехмерное интегральное преобразование Фурье:

$$\begin{aligned}
 U_{\sigma\mathbf{k}} &= \int \delta n_{\sigma}(\mathbf{r}) \exp(i\mathbf{k} \cdot \mathbf{r}) d\mathbf{r}, \\
 \Phi_{\mathbf{k}} &= \int \phi(\mathbf{r}) \exp(i\mathbf{k} \cdot \mathbf{r}) d\mathbf{r}, \\
 P_{e\mathbf{k}} &= \int \delta p_e(\mathbf{r}) \exp(i\mathbf{k} \cdot \mathbf{r}) d\mathbf{r}.
 \end{aligned} \tag{14}$$

В результате после приведения подобных членов из уравнений непрерывности получим

$$\begin{aligned}
 \begin{pmatrix} k^2+a_{11} & a_{12} & a_{13}k^2+a_{14} \\ a_{21} & k^2+a_{22} & a_{23} \\ k^2+a_{31} & a_{32} & a_{33}k^2+a_{34} \end{pmatrix} \begin{pmatrix} U_{e\mathbf{k}} \\ U_{i\mathbf{k}} \\ P_{e\mathbf{k}} \end{pmatrix} &= \\
 &= \begin{pmatrix} b_1 \\ b_2 \\ b_3 \end{pmatrix}, \tag{15}
 \end{aligned}$$

где

$$\begin{aligned}
 a_{11} &= k_{de}^2 - k_{ie}^2 + k_{se}^2, & a_{12} &= k_{se}^2 - k_{de}^2, & a_{13} &= \gamma_D, \\
 a_{14} &= \gamma_R k_{se}^2 - \gamma_{ion} k_{ie}^2; \\
 a_{21} &= k_{si}^2 - k_{di}^2 - k_{ii}^2, & a_{22} &= k_{di}^2 + k_{si}^2, \\
 a_{23} &= \gamma_D k_{si}^2 - \gamma_{ion} k_{ii}^2; \\
 a_{31} &= k_{de}^2 + k_{i\varepsilon}^2 + k_W^2 + \chi k_{se}^2, & a_{32} &= \chi k_{se}^2 - k_{de}^2, \\
 a_{33} &= \gamma_G, \\
 a_{34} &= \gamma_W k_W^2 + \gamma_{ion} k_{i\varepsilon}^2 + \chi(\gamma_R + 1) k_{se}^2; \\
 b_1 &= qk_{de}^2 - \tilde{S}_e, & b_2 &= -k_{di}^2 q - \tilde{S}_i, & b_3 &= -qk_{de}^2 - \tilde{S}_\varepsilon.
 \end{aligned}$$

А уравнение Пуассона в фурье-пространстве примет вид

$$-k^2 \Phi_{\mathbf{k}} = 4\pi e (U_{e\mathbf{k}} - U_{i\mathbf{k}}) - 4\pi e q. \tag{16}$$

Детерминант системы (15) равен

$$D = \alpha_0 + \alpha_1 k^2 + \alpha_2 k^4 + \alpha_3 k^6, \tag{17}$$

где

$$\begin{aligned}
 \alpha_0 &= a_{34} (a_{11} a_{22} - a_{12} a_{21}) - a_{14} (a_{31} a_{22} - a_{21} a_{32}) + \\
 &\quad + a_{12} a_{23} a_{31} - a_{11} a_{23} a_{32}, \\
 \alpha_1 &= a_{34} (a_{11} + a_{22}) + a_{23} (a_{12} - a_{32}) - \\
 &\quad - a_{14} (a_{22} + a_{31}) + a_{33} (a_{11} a_{22} + a_{12} a_{21}) - \\
 &\quad - a_{13} (a_{31} a_{22} + a_{21} a_{32}), \\
 \alpha_2 &= a_{34} - a_{14} + a_{33} (a_{11} + a_{22}) - a_{13} (a_{31} - a_{22}), \\
 \alpha_3 &= a_{33} - a_{13}.
 \end{aligned}$$

Расчеты для инертных газов и азота при комнатной температуре газа и скорости ионизации от  $10^{10}$  до  $10^{18} \text{ см}^{-3} \cdot \text{с}^{-1}$  показали, что полученные коэффициенты положительны, следовательно, по правилу знаков Декарта, уравнение

$$\alpha_0 + \alpha_1 k^2 + \alpha_2 k^4 + \alpha_3 k^6 = 0 \tag{18}$$

не имеет положительных действительных корней. В том случае, когда корни действительны и однократны, детерминант (17) можно представить в виде

$$D = (k^2 + k_{sh1}^2) (k^2 + k_{sh2}^2) (k^2 + k_{sh3}^2).$$

В этом случае распределение потенциала будет описываться тремя экспонентами:

$$\begin{aligned}
 \phi(r) &= \frac{eq}{r} [C_1 \exp(-k_{sh1}r) + C_2 \exp(-k_{sh2}r) + \\
 &\quad + C_3 \exp(-k_{sh3}r)]. \tag{19}
 \end{aligned}$$

Коэффициенты при экспонентах определяются выражениями

$$C_{\alpha} = \frac{A_4 k_{sh\alpha}^4 - A_2 k_{sh\alpha}^2 + A_0}{k_{sh\alpha}^2 (k_{sh\alpha}^2 - k_{sh\beta}^2) (k_{sh\gamma}^2 - k_{sh\alpha}^2)}, \tag{20}$$

где  $\alpha, \beta, \gamma = 1, 2, 3$  — номера постоянных экранирования, причем  $\alpha \neq \beta, \alpha \neq \gamma$  и  $\beta \neq \gamma$ .

Для ряда газов в ограниченной области изменения скорости ионизации газа появлялись комплексные корни:  $k_{sh2} = \varkappa_2 + i\varkappa_3, k_{sh3} = \varkappa_2 - i\varkappa_3$ . В этом случае распределение потенциала вокруг пылевой частицы описывается выражением

$$\begin{aligned}
 \phi(r) &= \frac{eq}{r} \left\{ C_1 \exp(-k_{sh1}r) + \right. \\
 &\quad \left. + [Q_2 \cos(\varkappa_3 r) + Q_3 \sin(\varkappa_3 r)] \exp(-\varkappa_2 r) \right\}, \tag{21}
 \end{aligned}$$

где

$$\varkappa_2 = \frac{1}{2} (k_{sh2} + k_{sh3}), \quad \varkappa_3 = \frac{1}{2} i (k_{sh3} - k_{sh2}),$$

$$Q_2 = \frac{1}{2}(C_2 + C_3), \quad Q_3 = \frac{1}{2}i(C_2 - C_3).$$

Константы  $A_0$ ,  $A_2$  и  $A_4$  всегда действительны и определяются формулами

$$\begin{aligned} A_0 &= \alpha_3^{-1} \left\{ \tilde{b}_1 [a_{23}(a_{31} + a_{32}) - a_{34}(a_{21} + a_{22})] + \right. \\ &\quad + \tilde{b}_2 [a_{34}(a_{11} + a_{12}) - a_{14}(a_{31} + a_{32})] + \\ &\quad \left. + \tilde{b}_3 [a_{14}(a_{21} + a_{22}) - a_{23}(a_{11} + a_{12})] \right\}, \\ A_2 &= \alpha_3^{-1} \left\{ \tilde{b}_1 [a_{23} - a_{34} - a_{33}(a_{21} + a_{22})] + \right. \\ &\quad + \tilde{b}_2 [a_{33}(a_{11} + a_{12}) - (a_{31} + a_{32}) + a_{34} - a_{14}] + \\ &\quad \left. + \tilde{b}_3 [a_{13}(a_{21} + a_{22}) + a_{14} - a_{23}] \right\}, \\ A_4 &= \alpha_3^{-1} [a_{13}(\tilde{b}_3 - \tilde{b}_2) + a_{33}(\tilde{b}_2 - \tilde{b}_1)], \end{aligned} \quad (22)$$

где

$$\tilde{b}_1 = k_{de}^2 - \tilde{S}_e/q, \quad \tilde{b}_2 = -k_{di}^2 - \tilde{S}_i/q, \quad \tilde{b}_3 = k_{de}^2 - \tilde{S}_e/q.$$

Отметим, что

$$Q_3 \varkappa_3 = -\frac{1}{4}(k_{sh3} - k_{sh2})(C_3 - C_2),$$

поэтому значение произведения  $Q_3 \varkappa_3$  не зависит от того, какой из комплексных корней обозначен индексом «2», а какой — «3».

Ниже приводятся результаты численных расчетов и аналитических оценок постоянных экранирования. Для удобства изложения здесь приведем также решение задачи об экранировании заряженного тела без учета эффектов нелокальности. В этом случае распределение потенциала можно представить в виде [10]

$$\phi(r) = \frac{eq}{r} (\theta_1 a^{-k_1 r} + \theta_2 a^{-k_2 r}), \quad (23)$$

где (см. [2–4])

$$k_{1,2}^2 = \frac{1}{2} \left( k_\alpha^2 \pm \sqrt{k_\alpha^4 - 4k_\beta^4} \right), \quad (24)$$

$$\theta_1 = \frac{k_D^2 - \varkappa_-^2 - k_2^2}{k_1^2 - k_2^2}, \quad \theta_2 = \frac{k_D^2 - \varkappa_-^2 - k_1^2}{k_2^2 - k_1^2}. \quad (25)$$

Здесь

$$\begin{aligned} k_\alpha^2 &= k_D^2 + k_s^2 - k_{ie}^2, \\ k_\beta^4 &= k_{De}^2 (2k_{si}^2 - k_{ii}^2) + k_{Di}^2 (2k_{se}^2 - k_{ie}^2), \\ \varkappa_-^2 &= -\frac{S}{q} (D_i^{-1} - D_e^{-1}). \end{aligned}$$

В резонансном случае ( $k_1 = k_2$ ) [2–4]

$$\phi(r) = \frac{eq}{r} \left( 1 + \frac{\varkappa_-^2 r}{2k_1} \right) e^{-k_1 r}. \quad (26)$$

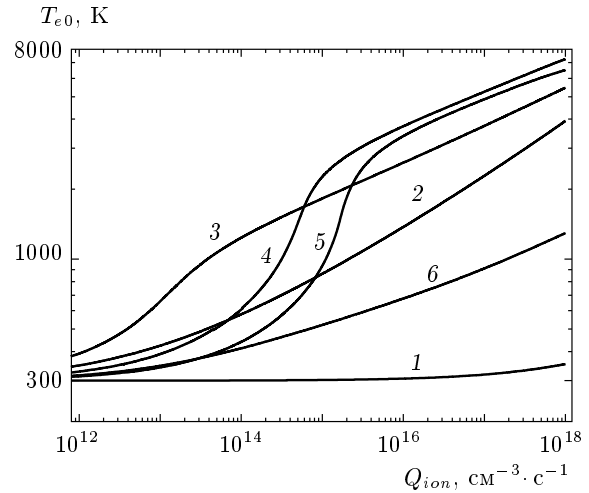
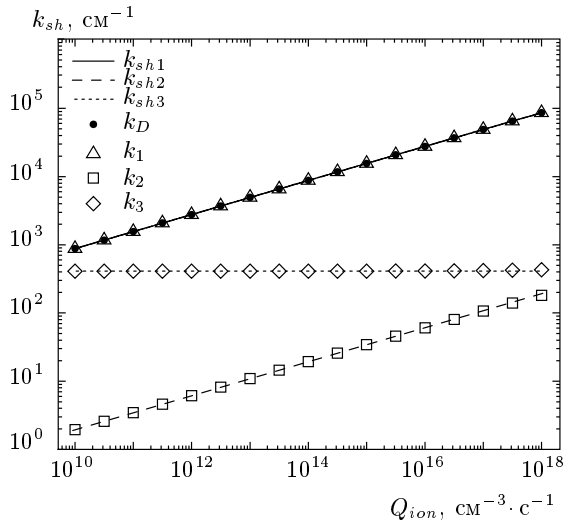


Рис. 1. Зависимости температуры электронов от скорости ионизации в гелии (1), неоне (2), аргоне (3), криптоне (4), ксеноне (5) и азоте (6) при давлении  $10^5$  Па и температуре газа 300 К

### 3. ЧИСЛЕННЫЕ РАСЧЕТЫ И АНАЛИТИЧЕСКИЕ ОЦЕНКИ ПОСТОЯННЫХ ЭКРАНИРОВАНИЯ

Аналитическое решение бикубического уравнения (18) непригодно для анализа ввиду громоздкости выражений для  $\alpha_m$  ( $m = \overline{0,3}$ ). Поэтому уравнение (18) решалось численно. Управляющим параметром являлась скорость ионизации газа внешним источником. Значения температуры и концентрации электронов в невозмущенной плазме вычислялись из уравнений (9). На рис. 1 приведены зависимости температуры электронов от скорости ионизации газа. Видно, что в гелии температура электронов во всем исследованном диапазоне скорости ионизации газа слабо меняется, что обусловлено малым значением коэффициента рекомбинации ионов  $\text{He}_2^+$  [9] (см. ниже). Это приводит к высоким значениям концентрации электронов и, соответственно, к большим значениям удельных потерь энергии электронной компоненты в упругих столкновениях (член  $n_e W_S$  в уравнении баланса энергии электронов). Быстрое возрастание температуры электронов при увеличении скорости ионизации газа в ксеноне и криптоне (в некоторой степени и в аргоне) обусловлено минимумом Рамзауэра в зависимостях транспортно-го сечения электронов от энергии.

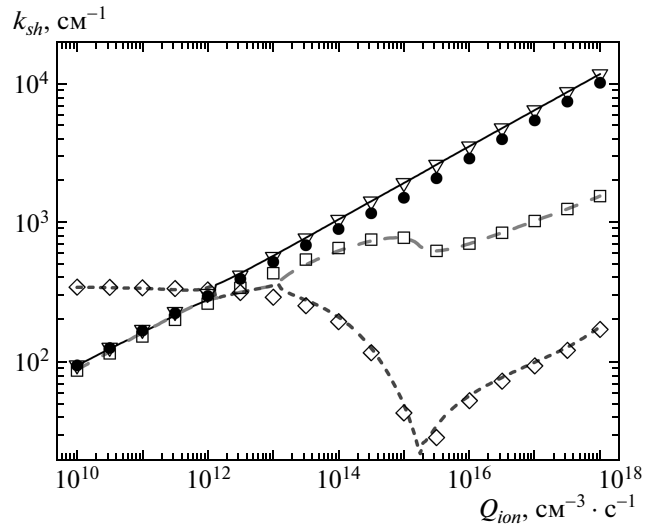
Отметим, что все сечения столкновений электронов с атомами инертных газов, использовавшиеся для расчета коэффициентов переноса и потерь энергии электронов, взяты из работы [11],



**Рис. 2.** Зависимости постоянных экранирования от скорости ионизации гелия при  $T = 300$  К:  $k_{sh1}$ ,  $k_{sh2}$ ,  $k_{sh3}$  — постоянные экранирования, полученные численным решением уравнения (18),  $k_1$ ,  $k_2$  — постоянные, найденные без учета эффектов нелокальности ФРЭЭ [1–4],  $k_D$  — дебаевская постоянная,  $k_3$  из (31)

а для азота — из [12]. Зависимости коэффициента рекомбинации двухатомных ионов инертных газов и четырехатомных ионов азота от температуры электронов задавались в следующем виде [9, 13–15]:  $\beta_{ei} = 3.3 \cdot 10^{-10} (T_e/300)^{-0.5}$  для ионов  $Ne_2^+$  (см. [9, 15]),  $\beta_{ei} = 1.7 \cdot 10^{-7} (T_e/300)^{-0.43}$  для  $Ne_2^+$ ,  $\beta_{ei} = 8.5 \cdot 10^{-7} (T_e/300)^{-0.67}$  для  $Ar_2^+$ ,  $\beta_{ei} = 1.6 \cdot 10^{-6} (T_e/300)^{-0.55}$  для  $Kr_2^+$ ,  $\beta_{ei} = 2.3 \cdot 10^{-6} (T_e/300)^{-0.33}$  при  $T_e < 1700$  К и  $\beta_{ei} = 1.3 \cdot 10^{-6} (T_e/300)^{-0.7}$  при  $T_e > 1700$  К для  $Xe_2^+$ ,  $\beta_{ei} = 1.4 \cdot 10^{-6} (T_e/300)^{-0.41}$  для  $N_4^+$ . Подвижность ионов в инертных газах определялась из закона Ланжевена [16], а для ионов азота  $N_4^+$  задавалась равной  $2.1 \text{ см}^2/\text{В}\cdot\text{с}$  [16].

Результаты расчетов постоянных экранирования представлены на рис. 2 для гелия и на рис. 3 для ксенона. В других газах поведение постоянных экранирования при вариации скорости ионизации было похоже на их поведение в гелии и ксеноне. Расчеты показали, что две из трех постоянных экранирования близки к значениям, полученным для неравновесной плазмы с одним сортом положительных ионов без учета эффектов нелокальности ФРЭЭ [2]. Причем одна из них близка к дебаевской постоянной экранирования:  $k_{sh1}^2 \approx k_D^2 = k_{De}^2 + k_{Di}^2$ . Вторая совпадает с обратной длиной, проходимой в процессе амбиполярной диффузии ионом за характерное время рекомбинации:  $k_{sh2}^2 \approx k_s^2 = k_{se}^2 + k_{si}^2$  [1–4].



**Рис. 3.** Зависимости постоянных экранирования от скорости ионизации ксенона при  $T = 300$  К. Обозначения такие же, как на рис. 2

Для установления физического смысла третьей постоянной экранирования разделим выражение (18) на полином

$$k^4 + (k_s^2 + k_d^2) k^2 + 2(k_{se}^2 k_{di}^2 + k_{de}^2 k_{si}^2),$$

корни которого определяют две постоянные экранирования в неравновесной плазме без учета эффектов нелокальности в плазме с внешним источником ионизации газа [2–4]. Если пренебречь собственной ионизацией плазмы и учесть, что  $D_e \gg D_i$ , то получим

$$k_3^2 \approx \frac{\gamma_W - \gamma_D}{\gamma_G - \gamma_D} k_W^2. \quad (27)$$

Похожее выражение можно получить непосредственно из стационарного уравнения баланса энергии электронов:

$$\nabla \mathbf{h}_e + e \mathbf{j}_e \cdot \mathbf{E} = (\eta - I) Q_{ion} - n_e W_S - \beta_{ei} R n_e n_i. \quad (28)$$

Как было показано в работе [6], плотность потока энергии электронов можно представить в виде

$$\mathbf{h}_e = \frac{G}{D_e} \mathbf{j}_e - \lambda_e n_e \nabla T_e,$$

где  $\lambda_e$  — коэффициент теплопроводности электронов:

$$\lambda_e = (\gamma_G - \gamma_D) G / T_e. \quad (29)$$

Анализ различных членов уравнения (28) показал, что при  $r \gg k_D^{-1}$  его можно привести к виду

$$-\lambda_e \nabla n_e \nabla T_e \approx (\eta - I) Q_{ion} - n_e W_S. \quad (30)$$

После линеаризации уравнения (30) по температуре ( $T_e = T_{e0} + \delta T_e$ ) с учетом (29) и в предположении, что  $\nabla n_e \nabla T_e \sim k_3^2 \delta n_e \delta T_e$ , получим соотношение

$$k_3^2 \approx \frac{\gamma_W}{\gamma_G - \gamma_D} k_W^2. \quad (31)$$

Характерное время установления энергии электронов в упругих и неупругих столкновениях согласно уравнению (4) в однородной плазме при постоянной плотности электронов определяется выражением

$$\tau_\varepsilon^{-1} = \nu_\varepsilon = \left. \frac{3}{2} \frac{\partial W_S}{\partial T_e} \right|_{T_e=T_{e0}} = \frac{3}{2} \gamma_W k_W^2 \frac{G_0}{T_{e0}}. \quad (32)$$

При  $T_e - T \ll T$  для обратного характерного времени установления энергии электронов в упругих столкновениях имеем

$$\nu_\varepsilon = \zeta \frac{m_e}{M} \nu_m,$$

где  $\zeta = 9/2$  при  $\nu_m = \text{const}$  и  $\zeta = 6$  при  $l_e = \text{const}$ . При  $T_e \gg T$  значение  $\zeta$  при  $\nu_m = \text{const}$  не изменится, а при  $l_e = \text{const}$  увеличится в полтора раза. Характерное расстояние «диффузии» энергии электронов за характерное время установления энергии определяется выражением

$$R^2 = 2\lambda_e \tau_\varepsilon. \quad (33)$$

Если теперь положить, что  $k_3^2 \sim R^{-2}$ , то из (29), (32) и (33) с точностью до коэффициента 3/4 следует выражение (31). Таким образом, мы можем сделать вывод, что третья постоянная экранирования определяется характерным расстоянием переноса энергии электронов за счет теплопроводности за характерное время установления энергии электронов в упругих и неупругих столкновениях. Как отмечалось в работе [6], коэффициент теплопроводности электронов отличается от их коэффициента диффузии только на множитель порядка единицы (5/2 при  $\nu_m = \text{const}$  и 2 при  $l_e = \text{const}$ ), поэтому мы можем заключить, что третья постоянная экранирования сравнима с обратной длиной установления энергии электронов.

На рис. 2, 3 приведены значения постоянной экранирования  $k_3$ , а также дебаевской постоянной  $k_D$  и постоянных экранирования без учета эффектов нелокальности в двухкомпонентной плазме,  $k_1$  и  $k_2$  [1–4]. Отметим, что в случае только действительных (для  $k^2$ ) корней уравнения (18), корень, близкий к  $k_1$  обозначен  $k_{sh1}$ , к  $k_2$  —  $k_{sh2}$  и к  $k_3$  —  $k_{sh3}$ . Видно

хорошее соответствие аналитических и численных результатов. Минимум третьей постоянной экранирования в ксеноне (как и во всех тяжелых инертных газах) обусловлен минимумом Рамзауэра в зависимости транспортного сечения от энергии электронов и находится в области быстрого роста температуры электронов (см. рис. 1). Коэффициенты переноса электронов в этой области оказываются максимальными, а скорость потерь энергии — минимальной.

В аргоне, как и в гелии, в исследованной области изменения скорости ионизации газа постоянные экранирования были только действительными, причем две постоянные экранирования практически совпадали с  $k_1$  и  $k_2$ , а третья постоянная была близка к  $k_3$  и была много меньше первых двух. Это является следствием высокой теплопроводности электронов в аргоне и малости скорости потерь энергии электронов в упругих и неупругих столкновениях. В гелии, как видно из рис. 2, наименьшей оказывается постоянная экранирования  $k_{sh2}$ , определяемая характерным рекомбинационным временем, которое в гелии имеет наибольшее значение среди всех исследованных газов. Интересно отметить, что третья постоянная в гелии в исследованном диапазоне вариации скорости ионизации практически постоянна. Такая картина наблюдается только в гелии и это является следствием того, что температура электронов в невозмущенной плазме в гелии слабо зависит от  $Q_{ion}$  и что она близка к газовой. В этом случае  $\gamma_W \gg \gamma_{W1}$  и  $\gamma_W \approx T/(T_{e0} - T)$ . Поэтому  $k_3$ , как видно из (31) и (5), оказывается функцией только температуры электронов и практически не зависит от концентрации электронов. По этой причине на фоне слабой зависимости  $T_{e0}$  от  $Q_{ion}$  третья постоянная также оказывается слабой функцией скорости ионизации газа.

В ксеноне наблюдается более сложная картина в поведении постоянных экранирования при изменении скорости ионизации газа. На рис. 3 приведены только действительные части постоянных экранирования. Оказалось, что в ксеноне, как и в неоне, криптоне и азоте, есть диапазон скоростей ионизации газа, в котором две из трех постоянных экранирования комплексны. Как видно из рис. 4, на котором приведены зависимости постоянных экранирования от скорости ионизации ксенона в более узком диапазоне, при  $Q_{ion} \approx 6 \cdot 10^{10} \text{ см}^{-3} \cdot \text{с}^{-1}$  кривые действительных частей  $k_{sh1}$  и  $k_{sh2}$  сливаются. Именно в области этого слияния появляются комплексные корни уравнения (18). На рис. 5 изображены графики мнимых частей постоянных экранирования в зависимости от скорости ионизации в ксе-

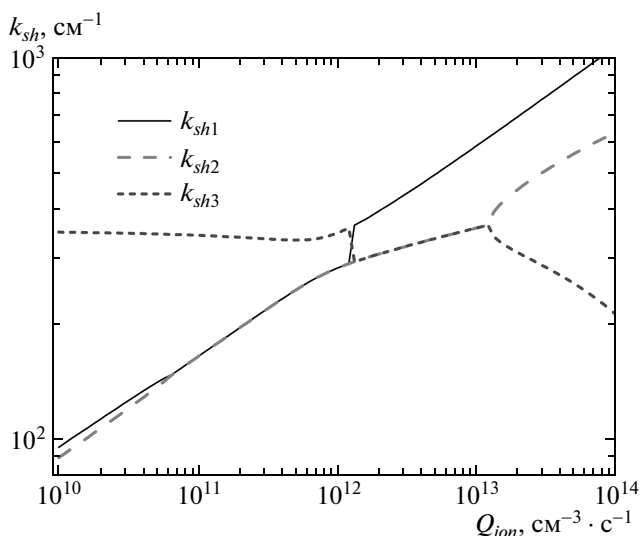


Рис. 4. Зависимости постоянных экранирования от скорости ионизации ксенона в более узком диапазоне изменения скорости ионизации газа, чем на рис. 3

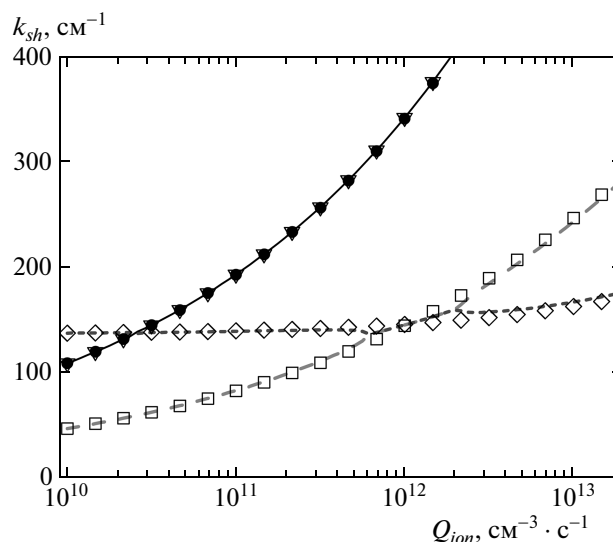


Рис. 6. Зависимости постоянных экранирования от скорости ионизации азота при  $T = 300$  К. Обозначения такие же, как на рис. 2

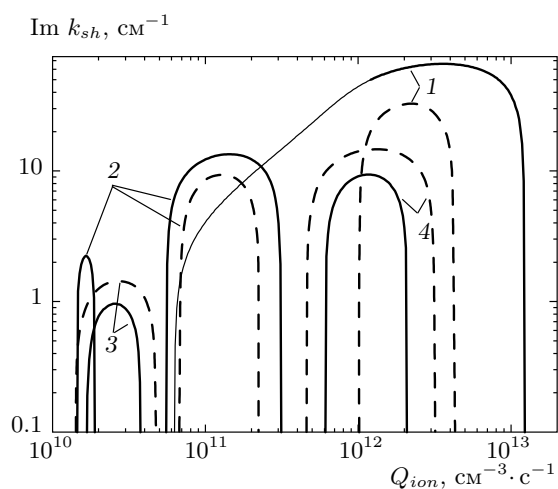


Рис. 5. Зависимости мнимой части постоянных экранирования от скорости ионизации при  $T = 300$  К в Хе (1), Кр (2), Не (3), N<sub>2</sub> (4). Сплошные кривые — решения уравнения (18), штриховые — (44)

ноне, криптоне, неоне и азоте. Как видно из рис. 5, в ксеноне область, где комплексны  $k_{sh1}$  и  $k_{sh2}$ , при  $Q_{ion} \approx 10^{12} \text{ см}^{-3} \cdot \text{с}^{-1}$  примыкает к области, где комплексны  $k_{sh2}$  и  $k_{sh3}$ . В случае криптона эти области разделены интервалом, где все постоянные действительны.

Наличие или отсутствие комплексных корней кубического уравнения определяется знаком дискри-

минанта этого уравнения, и переход из одной области в другую происходит через нулевое значение дискриминанта, при котором два корня вырождаются. Нужно отметить, что вырождение двух корней может и не привести к переходу в область комплексных постоянных, как, например, происходит в случае азота, для которого первый и третий корни пересекаются при  $Q_{ion} \approx 2.6 \cdot 10^{10} \text{ см}^{-3} \cdot \text{с}^{-1}$  (см. рис. 6, на котором приведены действительные части постоянных только для малых скоростей ионизации газа), но комплексные корни при этом пересечении не появляются (см. рис. 5).

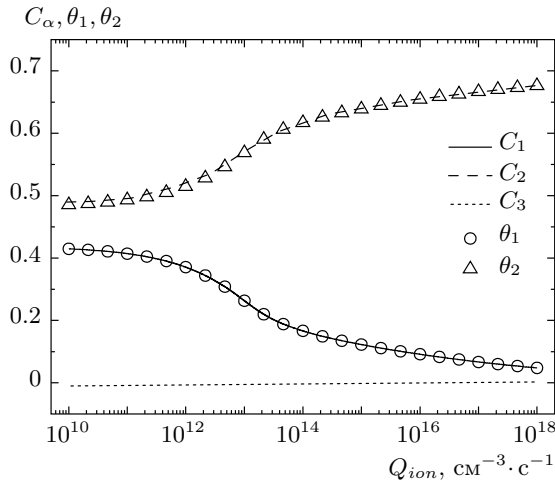
На рис. 7 приведены результаты сравнения коэффициентов при экспонентах в зависимости потенциала от расстояния, полученных в рамках нелокальной модели из (20) и без учета эффектов нелокальности согласно (25). В расчетах стоки задавались с помощью следующих выражений (см., например, [10, 17]):

$$\tilde{S}_e = \frac{S}{D_e}, \quad \tilde{S}_i = \frac{S}{D_i}, \quad \tilde{S}_\varepsilon = \frac{2T_e S}{G},$$

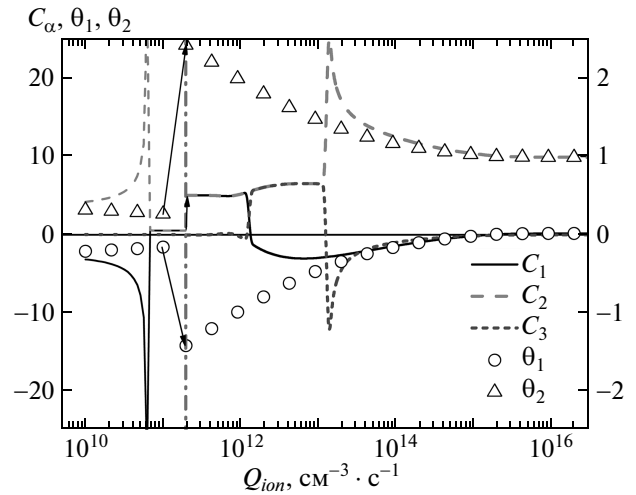
$$S = 4\pi e k_i |q| n_{i0} \equiv \beta_L |q| n_0.$$

Видно хорошее согласие  $\theta_1$  и  $\theta_2$  с  $C_1$  и  $C_2$ , а малость коэффициента  $C_3$  обусловлена малостью третьей постоянной экранирования, что приводит как к малости числителя, так и к большому значению знаменателя в выражении (20) для этой величины. Хорошее согласие  $\theta_1$  и  $\theta_2$  с  $C_1$  и  $C_2$  имело место и для других





**Рис. 7.** Зависимости коэффициентов при экспонентах в выражении (19) для потенциала экранирования от скорости ионизации аргона при  $T = 300$  К. Коэффициенты  $C_1$ ,  $C_2$  и  $C_3$  вычислены из выражений (20) при  $q = 1$ ;  $\theta_1$ ,  $\theta_2$  — коэффициенты при экспонентах в выражении для потенциала без учета эффектов нелокальности ФРЭЭ (23)



**Рис. 8.** Зависимости аналогичных коэффициентов (см. рис. 7) в случае ксенона. До штрихпунктирной вертикальной линии ( $Q_{ion} = 2 \cdot 10^{11} \text{ см}^{-3} \cdot \text{с}^{-1}$ ) для всех кривых применяется левая шкала оси ординат, затем происходит 10-кратное изменение масштаба, как указано на правой шкале оси ординат

газов в областях без комплексных значений постоянных экранирования. Отметим, что в этих областях значения  $C_3$  всегда были малы. На рис. 8 представлены аналогичные зависимости в случае ксенона. Видно, что в области существования комплексных корней согласие  $\theta_1$  и  $\theta_2$  с  $C_1$  и  $C_2$  совсем отсутствует и появляется только при отходе от этой области в сторону больших скоростей ионизации газа.

При подходе к границе перехода из области с комплексными корнями к области с действительными корнями предел произведения  $Q_3 \varkappa_3$  имеет вид

$$\lim_{\varkappa_3 \rightarrow 0} \varkappa_3 Q_3 = -\frac{A_4 \varkappa_2^4 - A_2 \varkappa_2^2 + A_0}{4 \varkappa_2^3 (k_{sh1}^2 - \varkappa_2^2)}, \quad (34)$$

а  $Q_2 \approx 1/2$  (так как коэффициент  $C_1$  при действительном корне мал). А при подходе к этой границе с другой стороны коэффициенты при экспонентах с близкими корнями становятся бесконечно большими из-за разности их квадратов в знаменателях.

Расчеты показали, что во всех газах  $\varkappa_3 \ll \varkappa_2$ , поэтому на расстояниях  $r \sim \varkappa_2^{-1}$  тригонометрические функции в выражении (21) можно разложить, это в линейном приближении приводит к появлению простой экспоненты, которая в работах [1–4] получалась в резонансном случае ( $k_1 = k_2$ ).

#### 4. РАСЧЕТЫ ПОСТОЯННЫХ ЭКРАНИРОВАНИЯ В АМБИПОЛЯРНОМ ПРИБЛИЖЕНИИ

Как было показано в работе [6], при выполнении условия  $\beta_{ei} < 4\pi e k_i$  около пылевой частицы формируется область амбиполярной диффузии электронов и ионов. Характерный размер этой области определяется постоянной экранирования  $k_2$ . Рассмотрим распределения концентрации электронов и ионов, температуры электронов и потенциала на расстояниях  $r \gg k_D^{-1}$ . Потoki электронов и ионов в стационарных условиях равны друг другу, а их концентрации в области амбиполярной диффузии практически совпадают:  $n_e \approx n_i = n$ . В этой области их поток представим в виде

$$j_e = j_i \approx -D_a \frac{\partial n}{\partial r}, \quad (35)$$

где  $D_a$  — коэффициент амбиполярной диффузии:

$$D_a = \frac{D_e k_i + D_i k_e}{k_e + k_i} \approx D_i \left( 1 + \frac{T_e}{T_i} \right).$$

В этом случае из уравнений (1) и (2) в стационарных условиях получаем одно уравнение:

$$-\frac{1}{r^2} \frac{\partial}{\partial r} \left( r^2 \frac{\partial D_a n}{\partial r} \right) = Q_{ion} + \nu_{ion} n - \beta_{ei} n^2. \quad (36)$$

Линеаризуем полученное уравнение, принимая во внимание, что в области амбиполярной диффузии  $|n_e - n_i| \ll n$ :

$$-D_{a0}\Delta\delta n - n_0\Delta\delta D_a = \nu_{ion,0}\delta n + n_0\delta\nu_{ion} - n_0^2\delta\beta_{ei} - 2\beta_{ei,0}n_0\delta n - S\delta(\mathbf{r}), \quad (37)$$

где  $\delta D_a = \gamma_a D_{a0}\delta T_e/T_{e0}$ ,  $\gamma_a$  – логарифмическая производная коэффициента амбиполярной диффузии:

$$\begin{aligned} \gamma_a &= \left. \frac{d \ln D_a}{d \ln T_e} \right|_{T_e=T_{e0}} = \\ &= \frac{T_{e0}}{T_{e0}+T_i} \left[ 1 - (1-\gamma_D) \frac{D_{a0}}{D_{e0}} \right] \approx \left( 1 + \frac{T_i}{T_{e0}} \right)^{-1}. \end{aligned}$$

Теперь, разделив обе части уравнения (37) на  $D_{a0}$ , находим:

$$\begin{aligned} -\Delta\delta n - \gamma_a\Delta\delta t_e &= \frac{\nu_{ion,0}}{D_{a0}}\delta n + \gamma_{ion}\frac{\nu_{ion,0}}{D_{a0}}\delta t_e - \\ -\gamma_R\frac{\beta_{ei,0}n_0}{D_{a0}}\delta t_e - 2\frac{\beta_{ei,0}n_0}{D_{a0}}\delta n - \frac{S}{D_{a0}}\delta(\mathbf{r}). \end{aligned} \quad (38)$$

После преобразования Фурье из (38) получим:

$$\begin{aligned} k^2 U_{\mathbf{k}} + \gamma_a k^2 P_{e\mathbf{k}} &= k_{ion,a}^2 U_{\mathbf{k}} + \gamma_{ion} k_{ion,a}^2 P_{e\mathbf{k}} - \\ - \frac{1}{2} \gamma_R k_{s,a}^2 P_{e\mathbf{k}} - k_{s,a}^2 U_{\mathbf{k}} - \tilde{S}_a. \end{aligned} \quad (39)$$

Здесь введены обозначения

$$k_{ion,a}^2 = \frac{\nu_{ion,0}}{D_a}, \quad k_{s,a}^2 = \frac{2\beta_{ei,0}n_0}{D_a}, \quad \tilde{S}_a = \frac{S}{D_a}. \quad (40)$$

При  $\nu_{ion} = 0$  имеем

$$\left( \gamma_a k^2 + \frac{1}{2} \gamma_R k_{s,a}^2 \right) P_{e\mathbf{k}} = - (k^2 + k_{s,a}^2) U_{\mathbf{k}} - \tilde{S}_a. \quad (41)$$

Чтобы получить второе уравнение амбиполярного приближения, вычтем из линеаризованного уравнения баланса числа электронов уравнение баланса их энергии (12). Полагая  $\chi = 1/2$  и  $\nu_{ion} = 0$ , в результате находим:

$$\begin{aligned} \left[ (\gamma_G - \gamma_D) k^2 + \frac{1 - \gamma_R}{2} k_{se}^2 + \gamma_W k_W^2 \right] P_{e\mathbf{k}} = \\ = (k_{se}^2 - k_W^2) U_{\mathbf{k}}, \end{aligned} \quad (42)$$

где  $U_{\mathbf{k}} = U_{e\mathbf{k}} \approx U_{i\mathbf{k}}$ .

В итоге мы получили систему уравнений зарядки с учетом эффектов нелокальности в амбиполярном приближении:

$$\begin{aligned} \left( k_3^2 - \frac{\gamma_W k_{se}^2}{\gamma_G - \gamma_D} \right) U_{\mathbf{k}} + \\ + \gamma_W \left( k^2 + \frac{1 - \gamma_R}{2} \frac{k_{se}^2}{\gamma_G - \gamma_D} + k_3^2 \right) P_{e\mathbf{k}} = 0, \quad (43) \\ (k^2 + k_{s,a}^2) U_{\mathbf{k}} + \left( \gamma_a k^2 + \frac{1}{2} \gamma_R k_{s,a}^2 \right) P_{e\mathbf{k}} = -\tilde{S}_a. \end{aligned}$$

Здесь величина  $k_3$  определена выражением (31). Учитывая, что в исследованном диапазоне вариации скорости ионизации во всех рассмотренных газах  $k_{se} \ll k_3$ , а также используя условие  $k_{se} \ll k_{s,a}$ , детерминант системы (43) можно представить в виде

$$D_{am} = \gamma_W (k^2 + k_{2a}^2) (k^2 + k_{3a}^2),$$

где

$$k_{2a,3a}^2 = \frac{1}{2} \left[ k_3^2 + k_{s,a}^2 - \frac{\gamma_a}{\gamma_W} k_3^2 \pm \sqrt{\left( k_3^2 + k_{s,a}^2 - \frac{\gamma_a}{\gamma_W} k_3^2 \right)^2 - 4 \left( 1 - \frac{\gamma_R}{2\gamma_W} \right) k_3^2 k_{s,a}^2} \right]. \quad (44)$$

Это выражение определяет постоянные экранирования в рамках нелокальной модели зарядки в амбиполярном приближении. Сравнение постоянных экранирования, полученных из выражения (44), с численными расчетами приведены в табл. 1 и 2. Как видно из приведенных данных, приближение амбиполярной диффузии электронов и ионов является хорошим приближением для расчета второй и третьей констант экранирования.

Для исследованных в настоящей работе параметров плазмы и сортов газа выполнены условия  $|\gamma_R| \ll \gamma_W$ ,  $\gamma_a \ll \gamma_W$ , а также  $\gamma_a \approx \gamma_D$ . Поэтому выражения для постоянных экранирования (44) можно привести к виду

$$k_{2a,3a}^2 \approx \frac{1}{2} [k_3^2 + k_{s,a}^2 \pm |k_3^2 - k_{s,a}^2|], \quad (45)$$

где величина  $k_3$  уже определена выражением (27). Отсюда видно, что одна из постоянных экранирования в амбиполярном приближении равна  $k_3$ , а другая –  $k_{s,a}$ . То, что  $k_3$  хорошо согласуется с результатами численных расчетов постоянных экранирования, отмечалось ранее, а сравнение значений  $k_{s,a}$ , приведенных в табл. 1 и 2, со значениями постоянных экранирования, полученных из формул (18) и (44), показывает их совпадение с большой точностью. Поэтому мы можем сделать вывод, что (27) и выражение

$$k_{s,a}^2 = \frac{\beta_{ei,0} n_0}{D_i} \frac{2T_i}{T_e + T_i} \quad (46)$$

можно использовать для определения двух, отличных от дебаевской, постоянных экранирования с хорошей точностью.

Нужно отметить, что выражение (44) для ксенона, криптона, азота и неона приводит к комплексным корням для  $k^2$ . Это происходит, когда два корня становятся близкими друг другу и подкоренное выражение становится отрицательным, при этом максимальное значение мнимой части постоянной экранирования равно

$$\kappa_{a,max} \approx \frac{1}{2} k_3 \left( \frac{\gamma_a - \gamma_R/2}{\gamma_W} \right)^{1/2}.$$

Как отмечалось выше, в настоящей работе выполнены условия  $|\gamma_R| \ll \gamma_W$ ,  $\gamma_a \ll \gamma_W$ , поэтому мы можем сделать вывод, что мнимая часть постоянных экранирования в исследованных газах много меньше действительной части. Мнимые части вычисленных из (44) постоянных экранирования представлены на рис. 5. Видно, что амбиполярное приближение позволяет с достаточной точностью определить не только сами значения мнимой части, но и пределы области появления комплексных значений постоянных экранирования, связанных с совпадением двух отличных от дебаевской постоянных.

Из системы уравнений (43), пренебрегая членами, содержащими  $k_{se}^2$ , находим:

$$U_k = -\frac{S_a}{k^2 + k_{s,a}^2}, \quad (47)$$

$$P_{ek} = \frac{k_3^2 S_a}{\gamma_W (k^2 + k_{2a}^2) (k^2 + k_{3a}^2)}. \quad (48)$$

Из (47) видно, что концентрация заряженных частиц в амбиполярном приближении определяется только постоянной экранирования  $k_{s,a}$ . Распределение напряженности электрического поля в амбиполярной области связано с распределением концентрации заряженных частиц соотношением

$$E \approx -\frac{1}{(k_e + k_i)n} \frac{\partial(D_e n)}{\partial r}, \quad (49)$$

поэтому распределение как напряженности, так и потенциала электрического поля в этой области также будет в основном описываться этой постоянной (которая, напомним, определяется обратной длиной, проходимой электронами и ионами за счет амбиполярной диффузии за характерное рекомбинационное время). Это хорошо согласуется с малыми значениями предэкспоненциального коэффициента  $C_3$ ,

связанного с третьей постоянной экранирования, вычисленными из выражений (20). Из (48) видно, что третья постоянная экранирования  $k_3$  появляется в распределении температуры электронов в амбиполярной области.

## 5. ЧИСЛЕННЫЕ РАСЧЕТЫ РАСПРЕДЕЛЕНИЯ ПОТЕНЦИАЛА

Для проверки полученных аналитических результатов проведем численное моделирование процесса зарядки пылевых частиц в рамках нелокальной модели зарядки (1)–(4) [6, 17]. При расчетах использовались коэффициенты переноса и рекомбинации электронов и ионов, описанные выше. Граничные условия имели вид

$$\begin{aligned} n_e|_{r=r_0} &= 0, & n_i|_{r=r_0} &= 0, \\ E|_{r=r_0} &= \frac{eq}{r_0^2}, & \frac{\partial T_e}{\partial r}|_{r=r_0} &= 0; \end{aligned} \quad (50)$$

$$n_e|_{r=a_d} = n_{e0}, \quad n_i|_{r=a_d} = n_{i0}, \quad T_e|_{r=a_d} = T_{e0} \quad (51)$$

или

$$j_e|_{r=a_d} = 0, \quad j_i|_{r=a_d} = 0, \quad h|_{r=a_d} = 0, \quad (52)$$

где  $r_0$  — радиус пылевой частицы,  $a_d$  — радиус ячейки Зейтца–Вигнера, определяемый концентрацией пылевых частиц  $n_d$  как

$$a_d = \left( \frac{4}{3} \pi n_d \right)^{-1/3}.$$

При расчетах радиус ячейки выбирался таким, чтобы исключить влияние граничных условий на распределение потенциала в интересующей нас области расстояний. Отметим, что замена граничных условий (51) справа на условия (52) приводила только к незначительному изменению распределения потенциала в непосредственной близости от границы. Использовалась неравномерная сетка, сгущающаяся к поверхности макрочастицы. Заряд макрочастицы находился из условия квазинейтральности ячейки Зейтца–Вигнера и точность расчетов контролировалась сравнением этого заряда с зарядом, полученным путем интегрирования во времени разности потоков электронов и ионов на ее поверхность.

На рис. 9 приведено распределение потенциала электрического поля вокруг макрочастицы, полученное при численном расчете в случае гелия при атмосферном давлении при  $Q_{ion} = 10^{14} \text{ см}^{-3} \cdot \text{с}^{-1}$ ,

**Таблица 1.** Зависимости постоянных экранирования от скорости ионизации гелия при  $T = 300$  К:  $k_{sh1}$ ,  $k_{sh2}$ ,  $k_{sh3}$  — постоянные экранирования, полученные численным решением уравнения (18),  $k_{2a}$ ,  $k_{3a}$  — постоянные, найденные в амбиполярном приближении из (44),  $k_D$  — дебаевская постоянная,  $k_{s,a}$  — из (40)

$Q_{ion}, \text{см}^{-3} \cdot \text{с}^{-1}$	$k_{sh1}, \text{см}^{-1}$	$k_{sh2}, \text{см}^{-1}$	$k_{sh3}, \text{см}^{-1}$	$k_D, \text{см}^{-1}$	$k_{2a}, \text{см}^{-1}$	$k_{3a}, \text{см}^{-1}$	$k_{s,a}, \text{см}^{-1}$
$10^{10}$	877.9	1.9	410.0	877.9	1.9	410.0	1.9
$10^{11}$	1561.1	3.4	410.0	1561.1	3.4	410.0	3.4
$10^{12}$	2776.0	6.1	410.0	2776.0	6.1	410.0	6.1
$10^{13}$	4936.3	10.9	410.1	4936.3	10.9	410.1	10.9
$10^{14}$	8776.5	19.4	410.2	8776.5	19.4	410.1	19.4
$10^{15}$	15598.6	34.4	410.6	15598.6	34.5	410.3	34.4
$10^{16}$	27692.2	61.1	411.8	27692.2	61.3	410.7	60.8
$10^{17}$	49008.3	108.1	415.1	49008.3	109.0	411.5	106.5
$10^{18}$	86139.0	189.8	420.9	86139.0	195.3	408.9	181.8

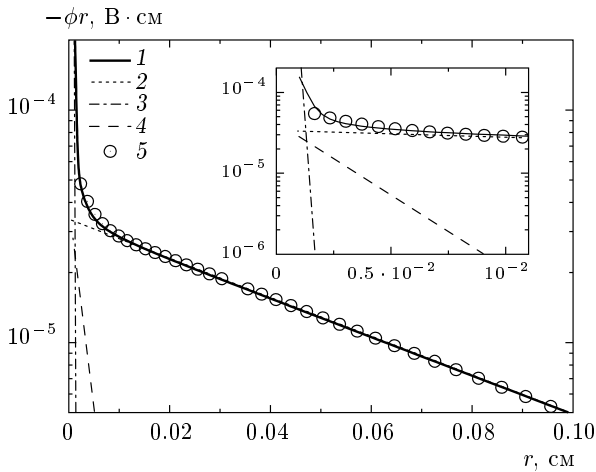
**Таблица 2.** Зависимости постоянных экранирования от скорости ионизации ксенона при  $T = 300$  К. Обозначения такие же, как в табл. 1;  $k_{2a}$  — константа, наиболее близкая к  $k_2$ ,  $k_{3a}$  — к  $k_3$ ;  $i$  — мнимая единица

$Q_{ion}, \text{см}^{-3} \cdot \text{с}^{-1}$	$k_{sh1}, \text{см}^{-1}$	$k_{sh2}, \text{см}^{-1}$	$k_{sh3}, \text{см}^{-1}$	$k_D, \text{см}^{-1}$	$k_{2a}, \text{см}^{-1}$	$k_{3a}, \text{см}^{-1}$	$k_{s,a}, \text{см}^{-1}$
$10^{10}$	95.5	89.7	348.6	96.0	89.1	349.4	88.9
$10^{11}$	$164.9 + 4.0i$	$164.9 - 4.0i$	341.9	170.5	158.6	344.1	157.7
$10^{12}$	$280.7 + 44.2i$	$280.7 - 44.2i$	346.6	301.7	301.1	308.1	277.6
$10^{13}$	585.7	$357.5 + 38.0i$	$357.5 - 38.0i$	529.2	465.0	307.6	479.0
$10^{14}$	1065.5	635.3	212.6	909.2	768.8	205.9	776.5
$10^{15}$	1945.3	781.4	50.1	1525.0	1002.8	50.1	1004.2
$10^{16}$	3561.3	714.2	58.3	2917.9	871.6	58.3	872.5
$10^{17}$	6463.4	1037.9	101.0	5461.2	1227.4	101.0	1228.8
$10^{18}$	11732.6	1564.2	181.4	10143.3	1806.7	181.3	1809.1

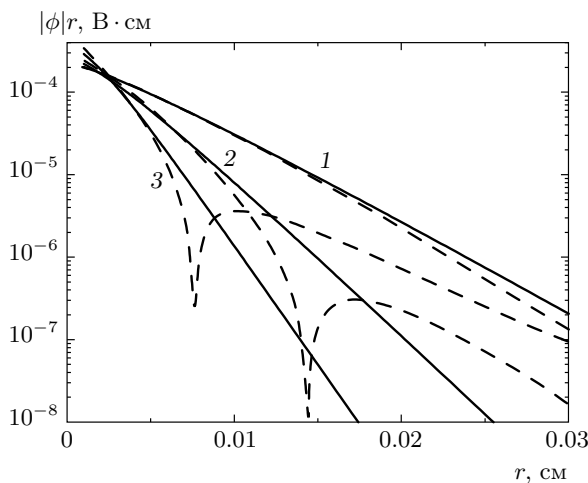
$n_d = 10^2 \text{ см}^{-3}$  для макрочастицы радиусом  $r_0 = 10 \text{ мкм}$ . Там же приведены «дебаевские» экспоненты с указанными в табл. 1 значениями постоянных экранирования и их сумма. Видно, что распределение потенциала в основном определяется постоянной экранирования, связанной с амбиполярной диффузией электронов и ионов за характерное рекомбинационное время, а две другие экспоненты проявляются только вблизи поверхности макрочастицы. Отметим, что в работе [6] расчеты проведены при  $n_d = 10^5 \text{ см}^{-3}$  ( $a_d = 133 \text{ мкм}$ ), поэтому влияние правой границы оказывалось определяющим в распределении потенциала и экспонента с наименьшей постоянной экранирования осталась не выделенной.

На рис. 10 приведены распределения потенци-

ала электрического поля вокруг макрочастицы в ксеноне при разных скоростях ионизации газа, полученные при расчетах с учетом и без учета эффектов нелокальности ФРЭЭ. Потенциал электрического поля в расчетах без учета нелокальности монотонно уменьшался вплоть до внешней границы расчетной ячейки и хорошо совпадал с суммой двух экспонент с постоянными экранирования  $k_1$  и  $k_2$  из табл. 2. Значения потенциала в рамках нелокальной модели зарядки на некотором расстоянии ( $r = 589 \text{ мкм}$  при  $Q_{ion} = 10^{12} \text{ см}^{-3} \cdot \text{с}^{-1}$ ,  $r = 144 \text{ мкм}$  при  $Q_{ion} = 10^{13} \text{ см}^{-3} \cdot \text{с}^{-1}$  и  $r = 76 \text{ мкм}$  при  $Q_{ion} = 10^{14} \text{ см}^{-3} \cdot \text{с}^{-1}$ ) от отрицательно заряженной макрочастицы становились положительными (см. рис. 10, где в полулогарифмическом мас-



**Рис. 9.** Распределение потенциала электрического поля вокруг макрочастицы в гелии при атмосферном давлении при  $Q_{ion} = 10^{14} \text{ см}^{-3} \cdot \text{с}^{-1}$ ,  $n_d = 10^2 \text{ см}^{-3}$ . Кривая 1 — расчетный потенциал, 2–4 — дебаевские экспоненты с указанными в табл. 1 значениями постоянных экранирования, 5 — сумма кривых 2, 3, 4



**Рис. 10.** Распределение потенциала электрического поля вокруг макрочастицы в ксеноне при атмосферном давлении и  $n_d = 10^2 \text{ см}^{-3}$  при  $Q_{ion} = 10^{12}$  (1),  $10^{13}$  (2),  $10^{14}$  (3)  $\text{см}^{-3} \cdot \text{с}^{-1}$ . Сплошные кривые — результаты расчета при постоянных коэффициентах переноса электронов и электрон-ионной рекомбинации, равным значениям вдали от макрочастицы, штриховые — согласно нелокальной модели зарядки. Потенциал на штриховых кривых 2, 3 до точек резкого изменения наклона отрицателен, а после — положителен

штабе приведены абсолютные значения потенциала). Также из рис. 10 видно, что учет нелокальности в ксеноне приводит к более быстрому уменьшению потенциала, т. е. к более эффективному экранированию заряда макрочастицы на малых расстояниях. Далее на больших расстояниях потенциал достигает максимума и электрическое поле меняет знак:  $\phi_{max} = 4 \cdot 10^{-11} \text{ В}$  при  $r = 622 \text{ мкм}$  для  $Q_{ion} = 10^{12} \text{ см}^{-3} \cdot \text{с}^{-1}$ ,  $\phi_{max} = 1.8 \cdot 10^{-5} \text{ В}$  при  $r = 168 \text{ мкм}$  для  $Q_{ion} = 10^{13} \text{ см}^{-3} \cdot \text{с}^{-1}$  и  $\phi_{max} = 3.8 \cdot 10^{-4} \text{ В}$  при  $r = 96 \text{ мкм}$  для  $Q_{ion} = 10^{14} \text{ см}^{-3} \cdot \text{с}^{-1}$ .

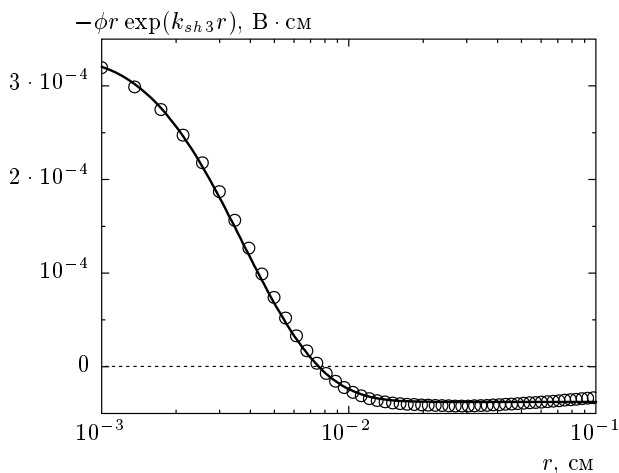
Появление положительных значений электрического поля и потенциала связано со следующим обстоятельством. Плотность потока электронов при зависящей от расстояния до пылевой частицы температуре электронов можно представить в виде

$$j_e = -k_e n_e E - D_e \frac{\partial n_e}{\partial r} - \gamma_D n_e \frac{\partial T_e}{\partial r}.$$

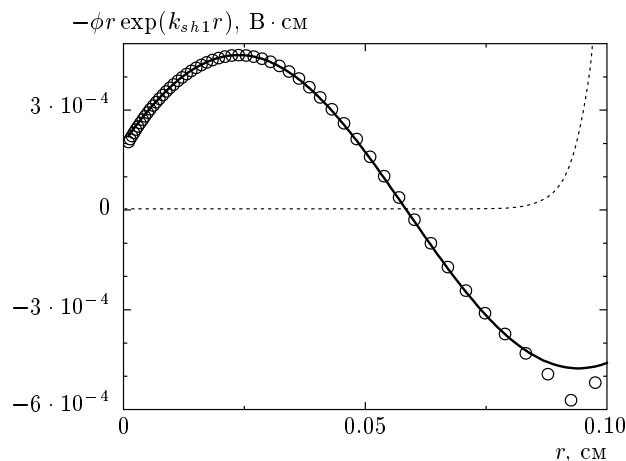
Видно, что в потоке электронов в этом случае появляется член, пропорциональный градиенту температуры электронов, — термофоретический член — и вдали от узкой окрестности пылевой частицы он положителен. В некоторой области расстояний в ксеноне на фоне того, что диффузионный и дрейфовый члены практически компенсируют друг друга, термофоретический член становится преобладающим и электронный ток оказывается положительным. Поэтому должно стать положительным и электрическое поле, чтобы обеспечить равенство ионного и электронного потоков в стационарных условиях, так как в ионном потоке практически всегда преобладает дрейфовая составляющая.

О смене знака электрического поля в ячейке Зейтца–Вигнера (при этом потенциал имел минимум в ячейке) уже сообщалось в работах [18, 19]. В работе [18] эффект смены знака обнаружен в термической плазме, в [19] — при фотоэмиссионной зарядке пылевых частиц. Отметим, что эффект имел место только при определенных граничных условиях, а именно, при поддержании конечной концентрации электронов и ионов на внешней границе, при этом объемные источники плазменных частиц отсутствовали. В работе [18] сделан вывод о том, что этот эффект может приводить к притяжению одноименно заряженных пылевых частиц. В работе [19] показано, что в обычной плазме с объемной генерацией электронов и ионов этот эффект исчезает.

Обнаруженный в настоящей работе эффект смены знака электрического поля не связан с граничными условиями, а обусловлен открытостью системы, в которую непрерывно подводится энергия ис-



**Рис. 11.** Распределение потенциала электрического поля при  $Q_{ion} = 10^{14} \text{ см}^{-3} \cdot \text{с}^{-1}$  и  $n_d = 10^2 \text{ см}^{-3}$  в ксеноне для случая трех действительных постоянных экранирования. Сплошная кривая — результаты расчета согласно нелокальной модели зарядки, кружки — сумма трех дебаевских экспонент с постоянными экранирования из табл. 2, пунктирная кривая — численная ошибка в расчетах потенциала



**Рис. 12.** Распределение потенциала электрического поля при  $Q_{ion} = 10^{12} \text{ см}^{-3} \cdot \text{с}^{-1}$  и  $n_d = 10^2 \text{ см}^{-3}$  в ксеноне для случая двух комплексных постоянных экранирования. Сплошная кривая — результаты расчета согласно нелокальной модели зарядки, кружки — результаты расчета по формуле (21) с постоянными экранирования из табл. 2, пунктирная кривая — численная ошибка в расчетах потенциала

точником внешней ионизации газа. Одноименно заряженные с пылевой частицей электроны в области отрицательных значений электрического поля испытывают притяжение к пылевой частице. Но это не позволяет утверждать, что будет притяжение и между одноименно заряженными пылевыми частицами, так как ввод в ячейку второй пылевой частицы приведет к значительному изменению всей картины распределения концентраций электронов и ионов и, как следствие, электрического поля. Поэтому можно говорить только о возможности притяжения, а для окончательных выводов необходимо двумерное моделирование в рамках нелокальной модели зарядки пылевых частиц.

На рис. 11 и 12 проводится сравнение полученных при численном расчете распределений потенциала в ксеноне с данными аналитической теории экранирования для случаев, когда постоянные экранирования имеют или не имеют комплексные значения. Видно прекрасное согласие результатов расчета и аналитической теории в обоих случаях.

В заключение данного раздела обсудим вопрос о пределах применимости полученных в настоящей работе результатов. В работе рассматривалась уединенная пылевая частица, поэтому для применимости используемого подхода к описанию реальной пылевой плазмы концентрация пылевых частиц долж-

на быть такой, чтобы соответствующий ей радиус ячейки Зейтца–Вигнера удовлетворял условию  $a_d \gg (\text{Re } k_{min})^{-1}$ , где  $k_{min}$  — постоянная экранирования с минимальной действительной частью. Как видно из табл. 2, в ксеноне условие применимости выполнено при достаточно высокой концентрации пылевых частиц  $n_d \sim 10^5 \text{ см}^{-3}$  даже при малых скоростях ионизации газа. Такое положение имеет место и в других газах, кроме гелия, в котором, как видно из табл. 1, при малых скоростях ионизации газа (до  $10^{14} \text{ см}^{-3} \cdot \text{с}^{-1}$ ) плотность пылевых частиц должна быть весьма разреженной.

Далее, в настоящей работе задача об экранировании рассматривалась в квазистационарном приближении, основным ограничением которого является разогрев газа из-за непрерывного подвода энергии в систему, например, внешним источником ионизации. Это может привести к изменению ионного состава плазмы, изменению коэффициентов переноса и рекомбинации электронов и ионов, скорости потерь энергии электронов в столкновениях с нейтральным газом и т. д. Поэтому для применимости квазистационарного приближения характерное время нагрева газа  $\tau_h$  должно быть много больше характерных времен задачи, каковыми являются характерное время зарядки пылевых частиц  $\tau_{ch}$ , характерное рекомбинационное время  $\tau_{rec}$  и характер-

ное время установления энергии электронов  $\tau_\varepsilon$ . При изохорическом нагреве газа в плазме, создаваемой внешним источником ионизации газа,  $\tau_h$  определяется как (для оценок мы здесь пренебрегаем выходом энергии из плазмы в виде излучения, которое может уносить до 50 % вкладываемой энергии, см. [17])

$$\tau_h = \frac{1}{\gamma - 1} \frac{p}{\eta Q_{ion}},$$

где  $\gamma$  — показатель адиабаты,  $p$  — давление газа,  $\eta$  — энергетическая цена образования электрон-ионных пар. Характерные времена  $\tau_{rec}$  и  $\tau_{ch}$  определены выражениями

$$\tau_{rec} = \frac{1}{\sqrt{\beta_{ei} Q_{ion}}}, \quad \tau_{ch} \sim \frac{|q|}{S} \approx \frac{1}{4\pi e k_i n_{i0}},$$

а  $\tau_\varepsilon$  — выражением (32). Оценки показывают, что для всех газов, за исключением ксенона, выполнены соотношения

$$\tau_h \gg \tau_{rec} > \tau_{ch} \gg \tau_\varepsilon.$$

В случае ксенона картина отличается тем, что при малых скоростях ионизации газа оказывается, что  $\tau_{rec} < \tau_{ch}$  (см. табл. 3). Окончательно мы можем сделать вывод, что квазистационарное приближение в исследованном диапазоне скоростей ионизации применимо для всех рассмотренных газов.

### 6. ЗАКЛЮЧЕНИЕ

В настоящей работе на основе нелокальной модели зарядки установлен вид экранированного потенциала в неравновесной пылевой плазме. Численно получены значения постоянных экранирования в плазме с внешним источником ионизации газа. Установлено, что при включении пространственной зависимости коэффициентов переноса электронов потенциал в окрестности заряженной макрочастицы становится суперпозицией трех экспонент с тремя разными постоянными экранирования. Численные расчеты показали, что одна из постоянных экранирования близка к дебаевской. Также установлено, что две постоянные экранирования из трех во всем исследованном диапазоне  $Q_{ion}$  практически совпадают с постоянными экранирования, рассчитанными без учета нелокальных эффектов. Третья постоянная экранирования определяется процессами теплопроводности и потери энергии электронов в столкновениях с атомами газа и с точностью до коэффициента порядка единицы

**Таблица 3.** Зависимости характерных времен задачи о зарядке пылевых частиц с учетом нелокальности ФРЭЭ от скорости ионизации ксенона при  $T = 300$  К ( $\tau_h$  — характерное время изохорического нагрева газа,  $\tau_{ch}$  — характерное время зарядки пылевых частиц,  $\tau_{rec}$  — характерное рекомбинационное время,  $\tau_\varepsilon$  — характерное время установления энергии электронов)

$Q_{ion},$ см <sup>-3</sup> ·с <sup>-1</sup>	$\tau_h, c$	$\tau_{ch}, c$	$\tau_{rec}, c$	$\tau_\varepsilon, c$
10 <sup>10</sup>	3.9 · 10 <sup>6</sup>	1.1 · 10 <sup>-2</sup>	6.6 · 10 <sup>-3</sup>	4.1 · 10 <sup>-8</sup>
10 <sup>11</sup>	3.9 · 10 <sup>5</sup>	3.6 · 10 <sup>-3</sup>	2.1 · 10 <sup>-3</sup>	4.1 · 10 <sup>-8</sup>
10 <sup>12</sup>	3.9 · 10 <sup>4</sup>	1.1 · 10 <sup>-3</sup>	6.6 · 10 <sup>-4</sup>	4.2 · 10 <sup>-8</sup>
10 <sup>13</sup>	3.9 · 10 <sup>3</sup>	3.5 · 10 <sup>-4</sup>	2.1 · 10 <sup>-4</sup>	4.4 · 10 <sup>-8</sup>
10 <sup>14</sup>	3.9 · 10 <sup>2</sup>	1.1 · 10 <sup>-4</sup>	7.0 · 10 <sup>-5</sup>	5.5 · 10 <sup>-8</sup>
10 <sup>15</sup>	3.9 · 10 <sup>1</sup>	3.0 · 10 <sup>-5</sup>	2.5 · 10 <sup>-5</sup>	1.8 · 10 <sup>-8</sup>
10 <sup>16</sup>	3.9	6.7 · 10 <sup>-6</sup>	1.1 · 10 <sup>-5</sup>	8.4 · 10 <sup>-8</sup>
10 <sup>17</sup>	3.9 · 10 <sup>-1</sup>	1.9 · 10 <sup>-6</sup>	4.0 · 10 <sup>-6</sup>	3.0 · 10 <sup>-8</sup>
10 <sup>18</sup>	3.9 · 10 <sup>-2</sup>	5.3 · 10 <sup>-7</sup>	1.4 · 10 <sup>-6</sup>	1.0 · 10 <sup>-8</sup>

совпадает с обратной длиной установления энергии электронов. Две отличные от дебаевской постоянные экранирования определены также в рамках амбиполярного приближения. Они оказались в очень хорошем согласии с результатами численных расчетов в рамках полной нелокальной модели зарядки для всех газов, кроме ксенона при малых скоростях ионизации газа. В рамках амбиполярного приближения также показано, что третья постоянная экранирования определяет главным образом распределение температуры электронов и не входит в выражение для распределения потенциала. Поэтому экранированный потенциал в рамках нелокальной модели зарядки с хорошей точностью описывается двумя постоянными, полученными в модели без учета нелокальных эффектов. Численное моделирование зарядки пылевых частиц в рамках нелокальной модели зарядки подтвердило выводы аналитической теории экранирования.

Работа выполнена при поддержке Государственной корпорации по атомной энергии «Росатом» (ГК № Н.46.44.90.12.1055) и гранта Президента РФ № НШ-2447.2012.2.

## ЛИТЕРАТУРА

1. А. В. Филиппов, А. Г. Загородний, А. Ф. Паль, А. Н. Старостин, Письма в ЖЭТФ **81**, 180 (2005).
2. А. В. Филиппов, А. Г. Загородний, А. И. Момот и др., ЖЭТФ **131**, 164 (2007).
3. A. F. Pal', A. V. Filippov, and A. N. Starostin, Plasma Phys. Control. Fusion **47**, B603 (2005).
4. A. Starostin, A. Filippov, A. Pal' et al., Contrib. Plasma Phys. **47**, 388 (2007).
5. И. Н. Дербенев, А. В. Филиппов, Физика плазмы **36**, 121 (2010).
6. А. В. Филиппов, Н. А. Дятко, А. Ф. Паль, А. Н. Старостин, Физика плазмы **29**, 214 (2003).
7. L. G. H. Huxley and R. W. Crompton, *The Diffusion and Drift of Electrons in Gases*, Wiley-Intersci. Publ., New York-London-Sydney-Toronto (1974).
8. Б. М. Смирнов, *Физика слабоионизованного газа*, Наука, Москва (1978).
9. Н. В. Pedersen, Н. Buhr, S. Altevogt et al., Phys. Rev. A **72**, 012712 (2005).
10. A. V. Filippov, A. N. Starostin, I. M. Tkachenko, and V. E. Fortov, Phys. Lett. A **376**, 31 (2011).
11. S. Pancheshnyi, S. Biagi, M. C. Bordage et al., 30<sup>th</sup> ICPIG, 2011, Belfast, UK (Topic number A1); The LXCat project: electron scattering cross sections and swarm parameters for low temperature plasma modeling, Biagi-v8.9 database, <http://www.lxcat.laplace.univ-tlse.fr>, retrieved August 25, 2011.
12. A. V. Phelps and L. C. Pitchford, Report No. 26, Univ. of Colorado, Boulder, Colorado (1985).
13. В. А. Иванов, УФН **162**, 35 (1992).
14. J. V. A. Mitchell, Phys. Rep. **186**, 215 (1992).
15. A. I. Florescu-Mitchell and J. V. A. Mitchell, Phys. Rep. **430**, 277 (2006).
16. Б. М. Смирнов, *Ионы и возбужденные атомы в плазме*, Атомиздат, Москва, (1974).
17. А. Филиппов, *Пылевая плазма с внешним источником ионизации газа*, Palmarium Acad. Publ., Saarbrücken (2012).
18. Л. Г. Дьячков, А. Г. Храпак, С. А. Храпак, ЖЭТФ **133**, 197 (2008).
19. А. В. Филиппов, В. Н. Бабичев, В. Е. Фортов и др., ЖЭТФ **139**, 1009 (2011).